

京都大学工学部 正員 石原藤次郎  
京都大学工学部 正員 高橋政馬

表流水の資源としての価値は今日ますます増大しつつあり、表流水を資源として効率的に利用するためには、その流域特性を十分に把握する必要がある。流域特性の表現としては古くから流域曲線があるが、二小川日流量の確率分布を示すだけである。一方、二小川下流日流量の時間的変動を知ることはこれまで困難である。一方、こうした変動特性解明の研究として、日雨量や日流量などの系列相関解析によろどり、さらには水文量を含む数列として扱うもの等があるが、流域構造との関連が十分でないため物理的意義の面で普遍性を乏しい。

本研究では、解析方法が簡単で流出機構を組み入れる二段階式の流域特性表現、一つは尺度とし、0度のエントロピーを導入し、自然流域の安定性を時間的、面積的スケールの面から考察したものである。

I 0度のエントロピーと流域特性； 1) 年度による季節単位の平均流量からの変動は、時間的不均一性の度合と量的不均一性がある、二小川盆地の流域特性といわれる。まず、日流量曲線が平均流量を横切る点を0度とする、0度集合の確率特性を0度のエントロピー  $H_C$  とする。すなはち  $H_C$  は0度系列の不確定度を表すものである。0度が独立單象に属するとは假定せず、情報理論によると、(1) 日あたりの0度は10万3平均で小石川情報量  $M_C$  がエントロピー  $H_C$  は、

$$H_C = - \sum_{i=1}^{M_C} P_i \log P_i \quad \dots (1) \quad (i=1, M_C \text{ は対象時間区間 } n \text{ 日内の } 0 \text{ 度の回数})$$

$$\text{すなはち } P_i \text{ は } 1 \sim n \text{ 度の区間長 } m_i \text{ 日の } m_i \text{ 日の確率 } n_i/m \text{ である。また, } \max H_C = \log M_C \quad (2)$$

$$\frac{\max H_C}{M_C} = \log n \quad (3) \quad \text{の関係がある。} H_C \text{ は, } n \text{ 日内の } 0 \text{ 度の区間長の配列の仕方の数,}$$

$$M(m) = (n_1, n_2, \dots, n_M) \text{ の対数 } \log M(m) \text{ を } n \text{ で除したものである, } \log M(m) = n \cdot H_C \quad (4)$$

$$\text{の関係があるから, 事象の度合とその度合度合の確率構造の均一性を示すもうひとつの度合である。}$$

2) したがって、 $H_C$  は年単位乃至1ヶ月単位の平均流量からの日流量の時間的変動特性の度合を意味する(これがわざ),  $H_C$  の大小によつて時間的スケール(年単位、季節単位、月単位など), 面積スケール(流域面積の大小など)にて3)日流量の時間的変動特性を比較することができる。3) さらには、日流量の標準偏差  $\sigma$  は、事象の数  $M(m)$  と  $\sigma \propto 1/\sqrt{M(m)}$  の関係があるから、二小川(4)式を入山すると  $\sigma \propto \exp(-n H_C/2)$  ... (6) の関係が得られる。二小川では、 $H_C$  が大きくなるほど  $\sigma$  が小さくなる、平均流量からの流量の変動が小さくなる。すなはち、 $H_C$  が大きいほど  $\sigma$  が小さい。また、最大最小の流量を含む日数は  $n$  である。4) 以上を考慮して、0度のエントロピー  $H_C$  が、流域の時間的、量的変動の度合、すなはち自然流域の安定性を表す一つの度合を示すものと期待できる。

2. 田宮川水系への適用と考察； 1) 上記の結果を用いて、田宮川水系三地区(荒倉;  $152 \text{ km}^2$ , 角;  $556 \text{ km}^2$ , 福知山;  $1,157 \text{ km}^2$ )の流域特性を検討した。2) 図-1以下、年(水年立歴年とす), 夏期(6~8月)下丁心冬季(12~2月)の  $H_C$  を各月と年間の日流量記録から算出

したものがである。緒序より、 $S_{\text{DT}}$  は初期、 $T_{\text{DT}}$  は冬期を意味する。

図-1 (a), a)  $H_{\text{DT}}$  面積  $A$  とともに増加の傾向をもつて、  
b) 夏期と冬期の  $H_{\text{DT}} \sim A$  の関係の経年変化特性は逆である、すなはち  
夏期と冬期の流域の経年変化の大きさで  $A$  との関連は下記では逆で  
あることを示す。a) DT, 日流量は  $A$  に随伴して同様に  $A$  とともに  
増加していき、(i) が山地  $A$  と  $\log A$  の場合、数が増大して直線的確率的  
的一致性を増していっている。b) DT,  $A$  とともに地下水量が増加して夏期の降雨変動が吸收され減少の一途で、  
冬期の融雪水の流域が上流域より下流域へ規則的に移るに反し、  
下流域における積雪地域の分布が一杯でなく、季節降雨の影響が大きく  
作用するため流域の経年変化が大きくなることは山地より少ない。

3) 図-2 DT, 年平均の流域と、夏期と冬期の  
流域を比較したものである。二つの場合、季節の  $H_{\text{DT}}$  は、  
四つとも季節のうねり一つといふ情報因子をもつて  
 $\log H_{\text{DT}} = \log A + \text{const}$  が  $\log 4$  を加えて原点を通る。

図-2 (b), a) 夏期の流域 DT,  $A$  の増加とともに年  
平均の流域  $H_{\text{DT}}$  は逆進して  $C_3 = 2$ 。  
b) 冬期の流域 DT, 融雪水が主体であるため、前述の理由により上流域部  
冬期の流域 DT 年平均の流域 DT は逆進して  $C_3 = 4$  が  
ある。以下、山地と山地から平地への変化率は山地  
より、 $= 2$  DT 夏期、冬期とも年平均の流域と夏季と  
相違がなく、一種の周期性をもつ、である。また、季節同志の流域特性の比較と上と同様に  $C_3 = 2$  で、  
流域の逆進性は、夏季と DT 夏期、秋期、冬期、春期と順次反復し、上流域と下流域と DT 季節流域の逆進性は大きな相違が認められる。

4) 図-3 DT, 年平均流量の標準偏差  $\sigma$  と  $H_{\text{DT}}$  の関係を示  
したもので、DT (b) 式の関係が成立するといえる。  
季節単位でと同様の結果が得られる。DT 年平均流域面積  $A = 5.07$   
大きい変動があるが、 $\sigma \sim H_{\text{DT}}$  の関係は DT と季節の影響が認められる  
こと、(ii) が山地一貫性が認められる  $C_3 = 2$  DT、流域の  
量の変動の尺度として  $H_{\text{DT}}$  が有効であることを示すもの  
である。

以上、流域の流域の時間的、量の変動の尺度として、算定のためには簡単な直交二乗法一  
般の関係式を用いた方が有利である。流域別 DT 季節別流域の流域を比較する尺度としてたとえば  
季節の特徴を明らかにするためには、流域別 DT 季節別流域の流域を表現するより一般的の物理論を確立する必要がある。流域水資源論としての開発方式はつづきを模倣して山地と山地  
である。

図-1

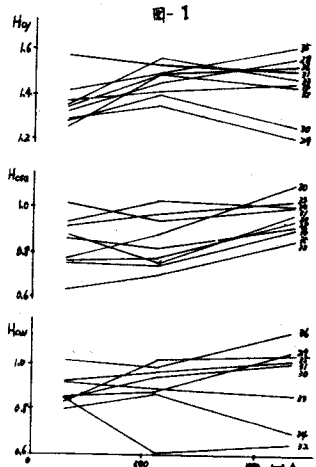


図-2

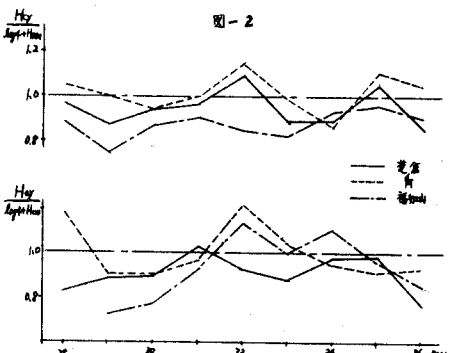


図-3

